

МІНІСТЕРСТВО ВНУТРІШНІХ СПРАВ УКРАЇНИ
ХАРКІВСЬКИЙ НАЦІОНАЛЬНИЙ УНІВЕРСИТЕТ ВНУТРІШНІХ
СПРАВ
КРЕМЕНЧУЦЬКИЙ ЛЬОТНИЙ КОЛЕДЖ

Циклова комісія аеронавігації

ТЕКСТ ЛЕКЦІЇ

з навчальної дисципліни
ПРИНЦИПИ ПОЛЬОТУ
(Аерогідрогазодинаміка)
обов'язкових компонент
освітньо-професійної програми першого (бакалаврського) рівня вищої освіти
Аеронавігація
272 Авіаційний транспорт

за ТЕМОЮ 8- Аеродинамічні характеристики несучого гвинта вертольоту

Вінниця 2023

ЗАТВЕРДЖЕНО

Науково-методичною радою
Харківського національного
університету внутрішніх справ
Протокол від 30.08.2023 № 7

СХВАЛЕНО

Методичною радою Кременчуцького
льотного коледжу Харківського
національного університету внутрішніх
справ
Протокол від 28.08.2023 № 1

ПОГОДЖЕНО

Секцією Науково-методичної ради
ХНУВС з технічних дисциплін
Протокол від 29.08.2023 № 7

Розглянуто на засіданні циклової комісії аеронавігації, *протокол від 28.08.2023 № 1*

Розробник: професор навчального відділу КЛК ХНУВС, викладач циклової комісії аеронавігації, к. т. н., с. н. с., спеціаліст вищої категорії, викладач – методист, Тягній В. Г.

Рецензенти:

1 Головний науковий співробітник ТОВ «Науково-виробниче об'єднання» «АВІА», к.т.н., с.н.с., Зінченко В. П.

2 Професор навчального відділу КЛК ХНУВС, викладач-методист циклової комісії енергозабезпечення та систем управління, к. т. н., професор, спеціаліст вищої категорії, Гаврилюк Ю. М.

ЛЕКЦІЯ 8.4: Сили і моменти, що діють на елементи лопаті і динаміка поведінки лопатей НГ

План лекції:

- 1 Сили і моменти, що діють на лопаті НГ.
- 2 Динаміка лопатей в площині тяги НГ.
- 3 Динаміка лопатей в площині обертання НГ.

Рекомендована література:

Основна:

1. Котельніков Г. Н., Мамлюк О. В., Аеродинаміка літальних апаратів. Підручник. -К.: Вища школа, 2002. – 255 с.
2. Навчальний посібник «Аеродинаміка та динаміка польоту вертольота». Частина I, «Аеродинаміка вертольота» / А. Г. Зінченко, О. О. Бурсала, О. Л. Бурсала та ін.; за заг. ред. А. Г. Зінченка. – Х.: ХНУПС, 2016.–402 с.: іл.
3. Навчальний посібник «Аеродинаміка та динаміка польоту вертольота». Часть II, «Динаміка польоту вертольота». / А. Г. Зінченко, І. Б. Ковтонюк, В. М. Костенко та ін.; за загальною редакцією В. М. Костенка та І. Б. Ковтонюка. – Х.: ХУПС, 2010. – 272 с.: іл.
4. Опорний конспект з навчальної дисципліни «Аеродинаміка, динаміка польоту та практична аеродинаміка». Частина I «Аеродинаміка вертольоту». Автор: Пчельников С. І.
5. Опорний конспект з навчальної дисципліни «Аеродинаміка, динаміка польоту та практична аеродинаміка». Частина II «Динаміка польоту». Автор: Пчельников С.І.
6. Аеродинаміка літальних апаратів: навчальний посібник /О.О. Бурсала. А. Г. Зінченко, Є. Ю. Іленко, І. Б. Ковтонюк, А. Л. Сушко – Х.: ХУПС, 2015. -333 с.: іл.
7. Лебідь В. Г., Миргород Ю. І., Аерогідрогазодинаміка. Підручник Х.: ХУПС, 2006. – 350 с.
8. Тягній В. Г., Ємець В. В., Основи аеродинаміки та динаміки польоту, частина I, Аерогідрогазодинаміка. Навчальний посібник, КЛК ХНУВС, 2022. – 384 с.

Допоміжна:

1. Ковалев Е. Д., Удовенко В. А., Основи аеродинаміки і динаміка польоту легких вертольотів. Навчальний посібник. - Х.: КБ Аерокоптер, 2008. – 280 с.

Інформаційні ресурси

Інформаційні ресурси в Інтернеті

<http://csm.kiev.ua/nd/nd.php?b=1>

Технічні засоби

- 1 Багатофункціональний плазмовий телевізор.
- 2 Персональний комп'ютер.
- 3 Мультимедійний проектор.

Наочні посібники

- 1 Опорний конспект лекцій.
- 2 Електронний конспект лекцій.
- 3 Презентація окремих тем дисципліни.
- 4 Схеми та таблиці по темам дисципліни.
- 5 Зразки інформаційної та службової документації.
- 6 Навчальні фільми за тематикою дисципліни «Принципи польоту (Аерогідрогазодинаміка)».
- 7 Стенди і плакати за тематикою дисципліни «Принципи польоту (Аерогідрогазодинаміка)».
- 8 Курс лекцій по дисципліні «Принципи польоту (Аерогідрогазодинаміка)»
- 9 Начальний посібник по дисципліні “Аерогідрогазодинаміка”.

Текст лекції

ЛЕКЦІЯ 8.4: СИЛИ І МОМЕНТИ, ЩО ДІЮТЬ НА ЕЛЕМЕНТИ ЛОПАТИ І ДИНАМІКА ПОВЕДІНКИ ЛОПАТИ НГ

План лекції:

8.4.1 Сили і моменти, що діють на лопаті НГ

8.4.2 Динаміка лопатей у площині тяги НГ

8.4.3 Динаміка лопатей в площині обертання НГ

8.4.1 Сили і моменти, що діють на лопаті НГ

8.4.1.1 Елементарні сили і моменти діють на елементи лопаті.

На елемент лопаті діють елементарні аеродинамічні сили і моменти. Елементарну підйомну силу лопаті (dT) і елементарну силу лобового опору (dQ) елемента лопаті можна визначити за формулами:

$$dT(dY) = C_y \cdot \rho \cdot U_x^2 \cdot b \cdot \frac{dr}{2}$$

$$dQ(dX) = \rho \cdot U_x \cdot b (C_x \cdot U_x - C_y \cdot U_y) \frac{dr}{2}$$

Елементарний момент опору обертання елемента лопаті дорівнює:

$$dM_\kappa = dQ \cdot r$$

На лопать діє елементарний шарнірний момент, який прагне скручувати лопать щодо її поздовжньої осі і в довільному перерізі лопаті на радіусі (r_i) дорівнює сумі елементарних моментів від аеродинамічних сил, інерційних сил і конструктивних елементів лопаті (рис 8.4.1):

$$dM_{\text{ш}} = dM_{\text{ш,а}} + dM_{\text{ш,з}} + dM_{\text{ш,и}} + dM_{\text{ш,п}} + dM_{\text{ш,уп}} + dM_{\text{ш,тр}}$$

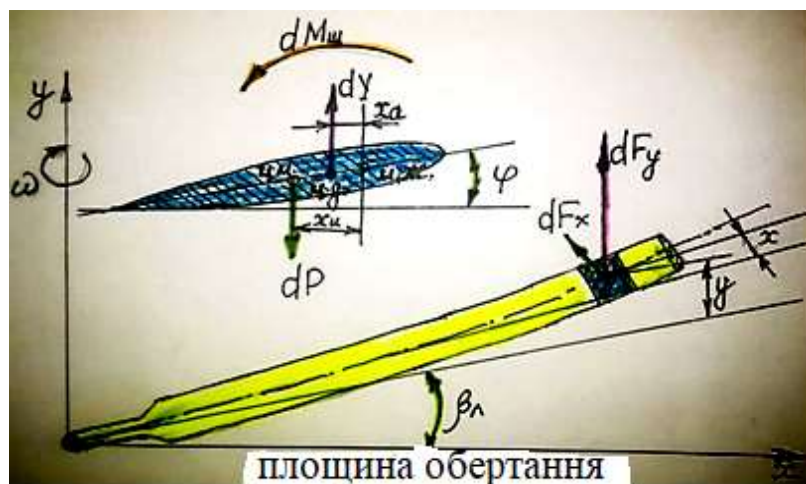


Рис 8.4.1 Схема сил і моментів діючих на елемент лопаті

де

$dM_{ш,а} = dY * x_a$ - шарнірний аеродинамічний момент, який обумовлений кривизною профілю лопаті, а також розбіжністю $ц.ж$ і $ц.м$ по хорді перерізів лопаті, внаслідок чого елементарна підйомна сила dY , прикладена в $ц.м$ створює на плечі x_a до $ц.ж$ момент, що скручує лопать.

$dM_{ш,з}$ - шарнірний аеродинамічний момент від закрилків, який виникає при відхиленні трімерної пластини лопаті НГ (аналогічно закрилкам крила).

$dM_{ш,и}$ - шарнірний інерційний момент обумовлений розбіжністю $ц.ж$ і $ц.м$ по хорді перерізів лопаті, внаслідок чого елементарна інерційна сила dP прикладена в $ц.м$., створює на плечі $x_{и}$ до $ц.ж$ момент, що скручує лопать:

$$dM_{ш,и} = dP * x_{и}$$

де

dP - елементарна інерційна сила, Н;

x_i - інерційне плече, м.

$dM_{ш,п}$ шарнірний «пропелерний» момент обумовлений дією поперечних складових відцентрових сил, що виникають при качанні лопаті в площині обертання НГ відносно ВШ.

$dM_{ш,пр}$ - шарнірний пружний момент обумовлений пружними згинними деформаціями лопаті і він створюється елементарною силою dF_x , що діє в площині обертання НГ на плечі (y) прогину елемента лопаті в площині тяги і силою dF_y діє в площині тяги НГ на плечі (x) прогину елемента лопаті в площині обертання.

$dM_{ш,тр}$ - шарнірний момент обумовлений силами тертя при повороті лопаті в осьовому шарнірі.

8.4.1.2 Сумарні сили і моменти діють на лопать.

Сумарні сили і моменти діють на лопаті представляють собою гармоніки періодичних функцій азимутального кута ($\Psi_{л}$) на режимах поступального польоту.

$$T_{л} = T_0 + T_1 \sin(\psi_{л} + \varepsilon_{T,1}) + T_2 \sin(2\psi_{л} + \varepsilon_{T,2}) + \dots$$

$$Q_{л} = Q_0 + Q_1 \sin(\psi_{л} + \varepsilon_{Q,1}) + Q_2 \sin(2\psi_{л} + \varepsilon_{Q,2}) + \dots$$

$$M_{шл} = M_0 + M_1 \sin(\psi_{л} + \varepsilon_{M,1}) + M_2 \sin(2\psi_{л} + \varepsilon_{M,2}) + \dots$$

Входящі в рівняння амплітуди сил і моментів, а також кути зсуву фаз $\varepsilon_{i,j}$ періодичної зміни сил і шарнірного моменту лопаті визначаються її

аеродинамічними, геометричними, масовими і жорсткісними характеристиками, а також кінематичними параметрами режиму польоту вертольота. $\varepsilon_{i,j}$

Таким чином, сили і шарнірний момент, що діють на лопать, являють собою суми окремих гармонійних складових, кожна з яких змінюється з певною частотою, кратною частоті обертання $НГ$.

При цьому силами тяги і опору $T_{\text{л}}, Q_{\text{л}}$ утворюються сумарні сили і моменти $НГ$, а шарнірними моментами $M_{\text{ш,л}}$ - зусилля в системі керування $НГ$ вертольоту.

8.4.2 Динаміка лопаті в площині тяги $НГ$

8.4.2.1 Маховий рух лопаті в площині тяги.

Маховий рух лопаті відносно $ГШ$ визначається силами діючими на довільний елемент лопаті довжиною dr і масою dm , розташованої на відстані r_i від осі обертання $НГ$ (рис 8.4.2).

Основними силами лопаті, що діють в площині тяги $НГ$ є:

- тяга лопаті - $T_{\text{л}}$;
- відцентрова сила - $dF_y = dm r \omega^2$ що діє перпендикулярно конструктивній вісі обертання $НГ$;
- сила інерції від змаху лопаті $dP_{\beta} = -dm r \ddot{\beta}_{\text{л}}$ - спрямованої перпендикулярно вісі лопаті, протилежно прискоренню змаху лопаті $r \ddot{\beta}_{\text{л}}$;
- сила тяжіння $dG_{\text{л}} = g dm$. лопаті.

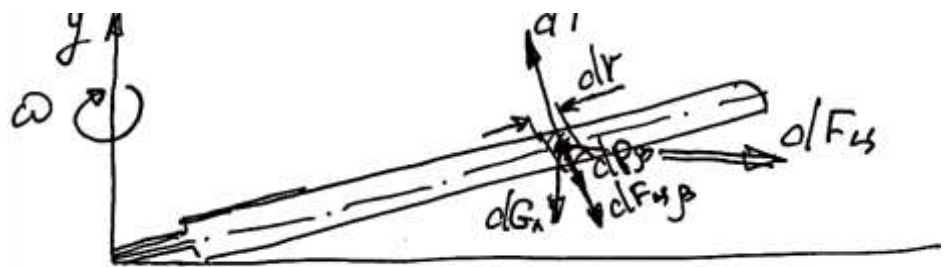


Рис 8.4.2 Схема сил діючих на лопать $НГ$

Так як, будь-який шарнір сприймає і передає лише сили, але не може передавати момент від сил, то сума моментів всіх діючих на лопать щодо осі $ГШ$ дорівнює нулю.

$$M_{\text{ГШ}} = \int_0^R (dT r - dF_{\text{ц}} r \beta_{\text{л}} - dP_{\beta} r - dG_{\text{л}} r) = 0$$

У загальному випадку криволінійного руху вертольоту в просторі з кутовими швидкостями тангажу (ω_z) і крену (ω_x) рівняння махового руху лопаті матимуть вигляд:

$$\ddot{\beta}_l + \omega^2 \beta_l = \frac{1}{J_\Gamma} \int_0^R dT r - 2\omega(\omega_z \sin \psi_l + \omega_x \cos \psi_l)$$

де

$I_r = \int_0^R (dm r^2)$ - момент інерції маси лопаті відносно вісі горизонтального шарніра.

Кути змаху β_l відносно **ГШ** кожної лопаті в певних азимутальних положення ψ_l відносно площини обертання **НГ** однакові. Отже маховий рух лопатей - циклічний, період циклу дорівнює часу одного повного оберту **НГ**. Тому залежність кута змаху лопатей від їх азимутального положення можна записати виразом (рис 8.4.3 і 8.4.4):

$$\beta_l = a_0 - a_1 \cos \psi_l - b_1 \sin \psi_l$$

де

a_0 - кут змаху лопаті на режимі висіння (*середній кут конусності НГ*), град

a_1 - кут відхилення аеродинамічної осі від конструктивної осі обертання **НГ** в поздовжньому напрямку, кут змаху лопаті в азимутах $\psi = 180^\circ \dots 0^\circ$;

b_1 - кут відхилення аеродинамічної осі від конструктивної осі обертання **НГ** в поперечному напрямку, кут змаху лопаті в азимутах $\psi = 90^\circ \dots 270^\circ$.

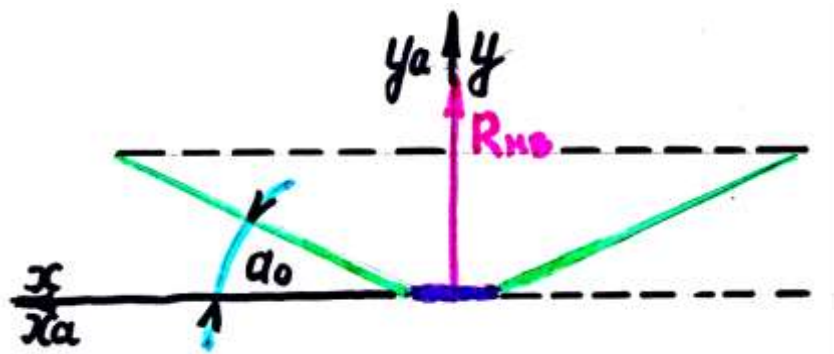


Рис 8.4.3 Схема кут змаху лопаті на режимі висіння (a_0)

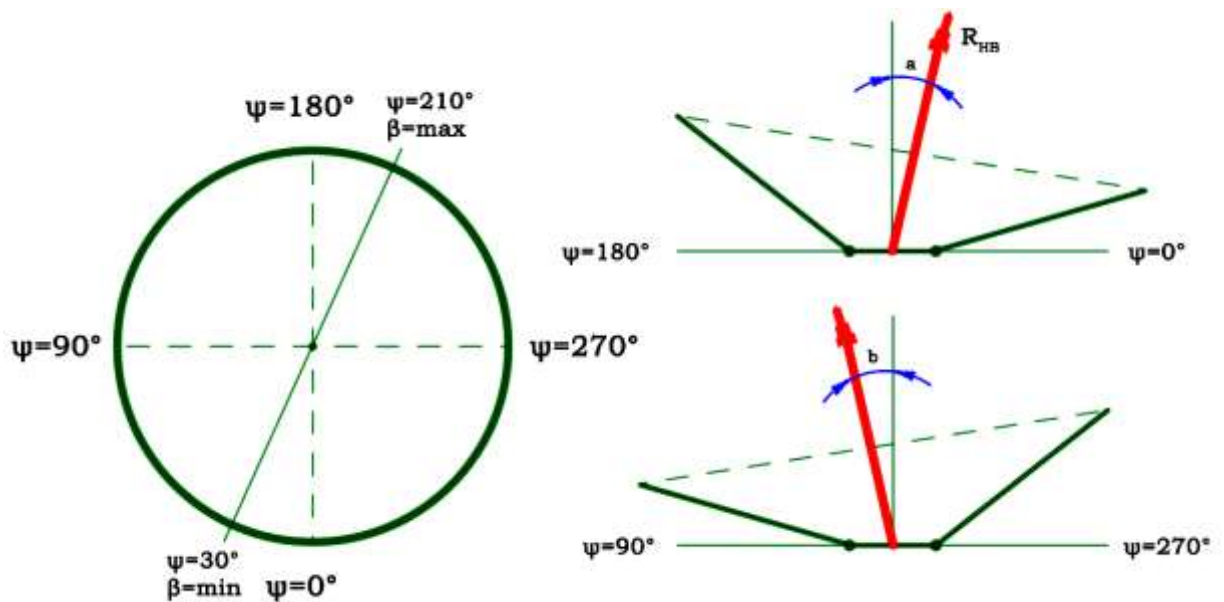


Рис 8.4.4 Схема завалів конуса обертання НГ по азимутам

Згідно рівняння зміни кута змаху по азимутах (β_α) маховий рух лопатей по азимутам представляє собою поверхню обертання лопатей по утворювальній кругового конуса, положення вісі OY_a якого визначається кутами a_1 і b_1 таким чином віссю конуса обертання - є аеродинамічна вісь **НГ**.

Позитивні напрямки кутів a_0 , a_1 і b_1 відповідають змахам лопатей вгору від конструкційної площини обертання **НГ** ($+a_0$, відхилення вісі конуса назад ($+a_1$ в азимут $\psi = 0^\circ$ і в сторону наступаючої лопаті ($+b_{10}$ в азимуті $\psi = 90^\circ$ (вліво).

Середній кут конусності **НГ**- (a_0) пропорційний:

- масової характеристики лопаті $\gamma_\alpha = \frac{\rho b c_y R^4}{2J_r}$, яка являє собою співвідношення між діючими на лопать аеродинамічними і масовими силами;
- загальному кроку **НГ**;
- вертикальній швидкості протікання повітряного потоку через **НГ**.

Коефіцієнти махового руху a_1 і b_1 вирівнюють аеродинамічну несиметрію обтікання **НГ** на режимах **ГП** вертольоту, завдяки чому момент тяги лопатей щодо **ГШ** є постійним по азимуту.

Екстремальні кути змаху рівні:

$$\beta_{л,э} = a_0 \pm \sqrt{a_1^2 + b_1^2}$$

На всіх експлуатаційних режимах польоту вертольота екстремальні кути змаху лопатей менше відповідних конструкційних обмежень, тобто зіткнення комлей лопатей з упорами *ГШ* втулки *НГ* не відбувається.

8.4.2.2 Основні закономірності махового руху лопаті НГ.

Зміна основних кінематичних параметрів наводяться для характерного перерізу $r = 0,7$ (рис 8.3.5).

1 Характеристика кінематичних параметрів обтікання:

1.1 Зміна горизонтальної складової швидкості U_x в площині обертання *НГ* по азимутам лопаті β_l по азимутам.

1.3 Зміна вертикальної складової швидкості U_y по азимутам.

1.4 Зміна кута атаки α_l лопаті по азимутам.

2 Характеристика махового руху лопатей і завалу конуса НГ:

2.1 Змахуючі лопаті обертаються по образуючій, котра утворює круговий конус, вісь якого на режимах *ГП* відхилена (без урахування керуючого впливу) назад і вбік - вліво щодо конструктивної вісі обертання *НГ*. Відхилення вісі конуса обертання *НГ* зростають зі збільшенням геометричних і кінематичних параметрів:

- кута атаки *НГ*;
- загального кроку *НГ*;
- швидкості польоту вертольоту.

2.2 Маховий рух лопаті відбувається в основному за першою гармонікою кратною частоті обертання *НГ*;

2.3 Завдяки маховому руху, збільшення швидкості обтікання перерізів лопаті супроводжуються зменшенням кутів атаки (α_l), а зменшення швидкості обтікання супроводжується збільшенням кута атаки лопаті, що сприяє вирівнюванню розміру тяги лопаті по азимутах.

2.4 Внаслідок махового руху кути атаки кінцевих перерізів відстаючих лопатей в районі азимута $\psi_l = 270^\circ$ різко зростають аж до критичних значень ($\alpha > \alpha_{кр}$), що призводить до утворення зони зриву потоку з лопаті.

2.5 При збільшенні швидкості і висоти польоту маховий рух стає більш інтенсивним, що сприяє розширенню зони зриву в азимуті $\psi_l = 270^\circ$.

3 Збільшення частоти обертання *НГ* ($\omega_{нв}$) сприяє зменшенню зони зриву потоку на кінцях відстаючих лопатей в азимуті $\psi_l = 270^\circ$, однак при цьому, збільшення частоти обертання сприяють зростанню числа Маха

$M_{ri} = \frac{\omega R}{a}$, виникненню надзвукових областей обтікання лопатей, що викликає появу хвильового опору на кінцях лопатей в азимуті $\psi_{\text{л}} = 90^\circ$.

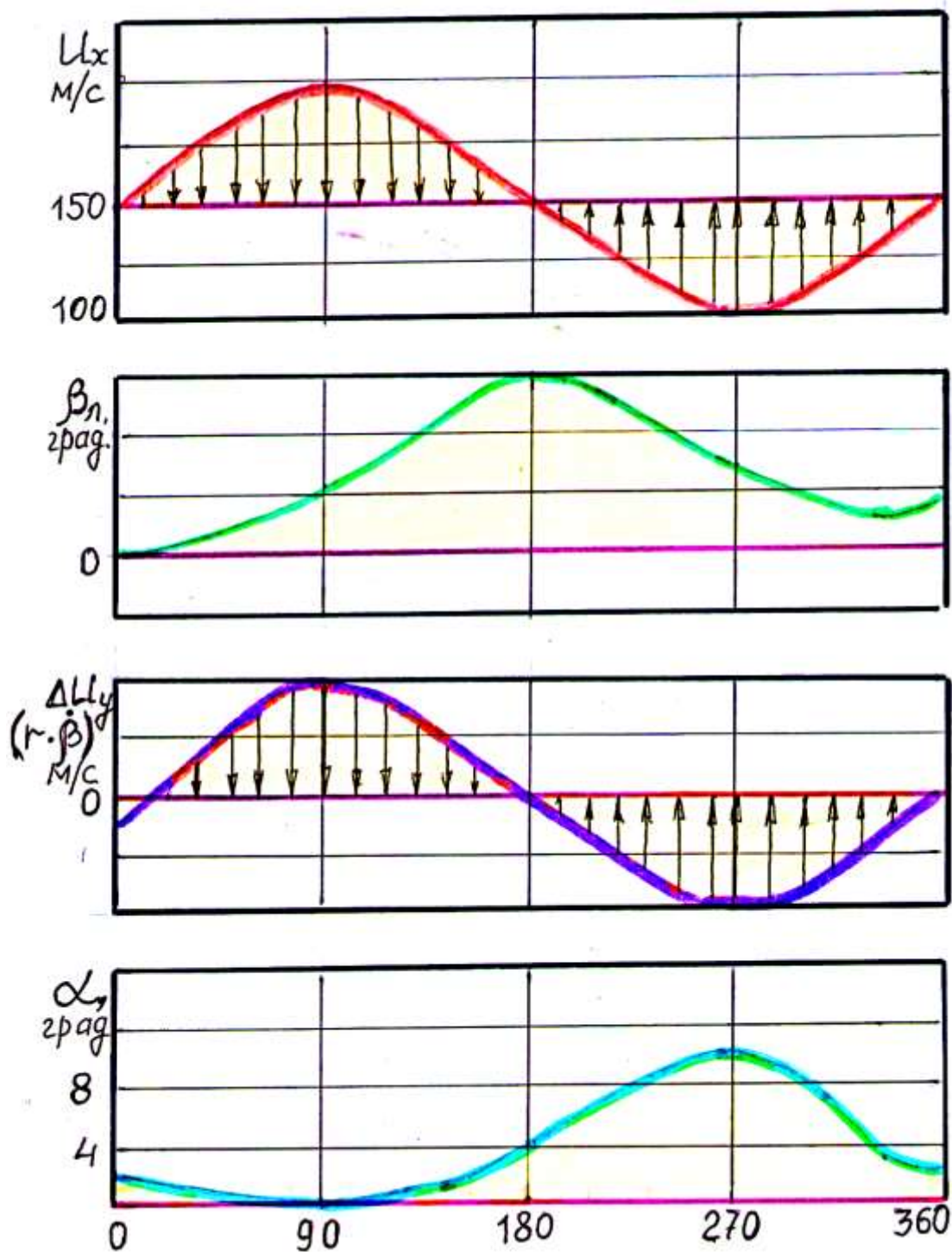


Рис 8.4.5 Схема зміни параметрів обтікання НГ по азимутам

4 Шарнірні кріплення лопатей не передають на втулку *НГ* і конструкцію вертольота згинальних моментів.

5 Коефіцієнти махового руху НГ з урахуванням компенсатора змаху рівні:

$$a_1 = \frac{a_{1,0} + \bar{k}b_{1,0}}{1 + \bar{k}^2}$$

$$b_1 = \frac{b_{1,0} - \bar{k}a_{1,0}}{1 + \bar{k}^2}$$

де

$a_{1,0}$ і $b_{1,0}$ - коефіцієнти махового руху **НГ** без компенсатору
взмаху;

\bar{k} - коефіцієнт компенсатору взмаху ($\bar{k} = 0,4 \dots 0,6$).

Компенсатор змаху зменшує амплітуду махового руху лопатей і аеродинамічну несиметрію **НГ** на режимах **ГП** вертольоту. Для створення рушійних і керуючих сил **НГ** наявність компенсатора змаху вимагає більшого відхилення органів управління.

8.4.3 Динаміка лопаті в площині обертання НГ

Рух лопаті в площині обертання відносно **ВШ**, які характеризуються кутом коливання (ζ_l), обумовлено дією зовнішніх сил:

- аеродинамічною силою лобового опору;
- поперечною силою від прискорень в площині коливання лопаті;
- коріолісовою силою (сили яка виникає при еволюціях лопаті в просторі для збереження моменту кількості руху лопаті).

Для демпфірування коливань лопаті відносно **ВШ** в конструкції втулки **НГ** встановлено гідравлічний демпфер, який створює момент демпфірування:

$$M_q = -kq\zeta_l$$

При коливанні лопаті виникає стабілізуючий момент від відцентрової сили відносно **ВШ**:

$$M_u = S_b l_b \omega^2 \zeta_l$$

де

S_b - статистичний момент маси лопаті відносно вісі **ВШ**;

l_b - відстань від вісі **НГ** до вісі **ВШ**;

ω - частота обертання **НГ**.

При коливанні лопаті в площині обертання під дією моментів від аеродинамічних сил лобового опору і інерційних сил відносно **ВШ**, а також під дією моменту демпфера коливання лопаті **НГ** не потрапляють в зону резонансу. На більшій частині площини обертання **НГ** змінні моменти від коріолісових і аеродинамічних сил діють в протифазі, частково компенсуючи один одного, тому що виникаючі збудження коливань не призводять до помітного збільшення амплітуди коливання лопаті в площині обертання:

$$\zeta_{l, \text{макс}} = 0,005 \omega$$

Подібне, близьке до вібраційного, коливальний рух лопаті практично не впливає на:

- швидкість обтікання лопатей;
- кути атаки перерізів лопаті.

Основні закономірності коливання лопаті в площині обертання **НГ**:

- 1) Середній кут відставання лопаті, пропорційний моменту, крутящому моменту **НГ** і становить $\zeta_l = 5 \dots 10^\circ$.
- 2) Утримання лопаті при обертанні в діапазоні **5 ... 10⁰** обумовлено потужним стабілізуючим моментом відцентрової сили. Внаслідок такої «динамічної жорсткості» лопать стає як би з жорстким кріпленням до втулки **НГ**.
- 3) При розкручуванні **НГ**, комлі лопатей **НГ** відходять назад до задніх упорів **ВШ**, а потім по мірі збільшення обертів **НГ** ($\omega_{\text{НГ}}$) відходять від упорів, переміщаються вперед і займають рівновісний стан із середнім кутом відставання ζ_l .
- 4) При зупинці **НГ** на землі або при гальмуванні обертального руху валу **НГ** після відмови двигунів, лопаті по інерції переміщаються вперед по обертанню аж до удару по переднім упорам **ВШ**.
- 5) На всіх експлуатаційних режимах польоту вертольота ударів комлей лопатей по упорам **ВШ** не виникає.